

К-891

18/xi-69



ОБЪЕДИНЕННЫЙ ИНСТИТУТ ЯДЕРНЫХ ИССЛЕДОВАНИЙ
ОТДЕЛ НОВЫХ МЕТОДОВ УСКОРЕНИЯ

P9-4728

А.Б.Кузнецов, С.Б.Рубин

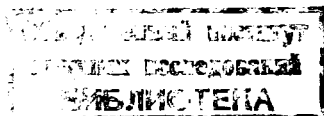
**О КОГЕРЕНТНЫХ ПОТЕРЯХ ЭНЕРГИИ
РЕЛЯТИВИСТСКИМ СГУСТКОМ
В ЛИНЕЙНЫХ УСКОРЯЮЩИХ СИСТЕМАХ**

Дубна 1969

P9-4728

А.Б.Кузнецов, С.Б.Рубин

О КОГЕРЕНТНЫХ ПОТЕРЯХ ЭНЕРГИИ
РЕЛЯТИВИСТСКИМ СГУСТКОМ
В ЛИНЕЙНЫХ УСКОРЯЮЩИХ СИСТЕМАХ



В настоящее время представляет интерес вопрос о потерях энергии пролетающим через различные структуры релятивистским сгустком с большим зарядом. Особенно важным является изучение зависимости потерь энергии от релятивистского фактора $\gamma = (1 - \frac{u_0^2}{c^2})^{-1/2}$ при движении сгустка в линейном ускорительном тракте, имеющем обычно периодическую структуру.

Уже давно (см./1/) было выяснено, что потери энергии в этом случае носят резонансный характер. Однако в дальнейших работах до сих пор не удалось выяснить с достаточной полнотой асимптотическую зависимость потерь от γ (см./2-5/). Исключение представляет, насколько нам известно, лишь случай возбуждения "гребенки" из полуплоскостей, для которого Болотовским и Воскресенским было получено точное решение и обнаружена в некоторых приближениях обратная зависимость потерь от γ . Является ли эта закономерность универсальной, не ясно.

Трудность решений задач подобного рода заключается в необходимости учёта всего частотного диапазона, в котором возбуждается излучение. Для рассмотренных ниже трех периодических систем (одна из которых - "гребенка" Болотовского-Воскресенского, которая приведена для сравнения) удастся развить подход, дающий возможность оценить асимптотическую зависимость потерь при больших γ .

Структура систем представлена на рис. 1. Возбуждаются они точечным зарядом (случаи I, II) и заряженной нитью (случай III). Скорость источников $v_0 = \text{const}$. Из условий задач следует функциональ-

ная связь между значениями плотности токов на произвольном m -ом и нулевом элементах структуры:

$$j_z^m(\xi + mD, t + \frac{Dm}{v_0}) = j_z^0(\xi, t), \quad 0 \leq \xi \leq d \quad \text{в случае I,}$$

$$j_r^m(r, t + \frac{Dm}{v_0}) = j_r^0(r, t); \quad j_y^m(y, t + \frac{Dm}{v_0}) = j_y^0(y, t) \quad \text{в случаях II, III.}$$

Компоненты фурье-векторов Герца, созданных этими токами вторичных полей, можно представить в виде:

$$\Pi_{z\omega}^I = -\frac{\pi a e^{-i\omega t}}{D\omega} \int_0^d j_z^0(\xi) d\xi \sum_{s=-\infty}^{+\infty} e^{i(z-\xi)w_s} \begin{cases} J_0(\chi_s r) H_0^{(1)}(\chi_s a), r < a; \\ J_0(\chi_s a) H_0^{(1)}(\chi_s r), r > a; \end{cases} \quad (1.1)$$

$$\Pi_{r\omega}^{II} = -\frac{\pi e^{-i\omega t}}{D\omega} \int_a^\infty j_r^0(r') r' dr' \sum_{s=-\infty}^{+\infty} e^{izw_s} \begin{cases} J_1(\chi_s r) H_1^{(1)}(\chi_s r'), r < r'; \\ J_1(\chi_s r') H_1^{(1)}(\chi_s r), r > r'. \end{cases} \quad (1.2)$$

$$\Pi_{y\omega}^{III} = -\frac{e^{-i\omega t}}{D\omega} \int_0^\infty j_y^0(y') dy' \sum_{s=-\infty}^{+\infty} e^{izw_s} \frac{e^{i\chi_s |y-y'|}}{\chi_s} \quad (1.3)$$

Здесь $w_s = \frac{\omega}{v_0} - \frac{2\pi s}{D}$, $\chi_s = \sqrt{k^2 - w_s^2}$, $k = |\frac{\omega}{c}|$.

Работа, совершаемая ω -компонентой вторичного поля над источником на периоде, будет находиться по формуле

$$W_\omega = -q \int_0^{D/v_0} \text{Re} \{ E_{z\omega} |_{z=v_0 t} \} v_0 dt. \quad (2)$$

При вычислении соответствующих выражений оказывается, что все члены с $s \neq 0$, т.е. волны с фазовыми скоростями, отличными от v_0 , обращаются в нуль и только поверхностная волна, распространяющаяся с фа-

зовой скоростью источника, дает конечный результат. Выражения для W_ω для всех трех случаев будут иметь вид

$$W_\omega^I = -\frac{2qa}{c} \frac{k}{\gamma^2 \beta^2} K_0\left(\frac{ka}{\gamma\beta}\right) \text{Im} \left\{ \int_0^d j_z^0(\xi) e^{-i\xi \frac{\omega}{v_0}} d\xi \right\}, \quad (3.1)$$

$$W_\omega^{II} = \frac{2qk}{c\gamma\beta^2} \text{Re} \left\{ \int_a^\infty j_r^0(r) K_1\left(\frac{kr}{\gamma\beta}\right) r dr \right\}, \quad (3.2)$$

$$W_\omega^{III} = \frac{\kappa}{c\beta} \text{Re} \left\{ \int_0^\infty j_y^0(y) e^{-\frac{k}{\gamma\beta}(y+a)} dy \right\}. \quad (3.3)$$

Формулы (3) являются основными. Оценки для W_ω получаются из соответствующих оценок амплитуд токов. Последние находятся из интегральных уравнений, как обычно, получаемых из граничных условий на экранах. Ниже ради краткости изложение ведется на примере задачи II, для остальных - приводятся только результаты.

Сумму в (1.2) при $z=0$ можно представить интегралом по контуру \mathcal{L} , показанному на рис. 2^{x/}.

$$M = \sum_{s=-\infty}^{+\infty} \begin{cases} J_1(\chi_s r) H_1^{(1)}(\chi_s r') \\ J_1(\chi_s r') H_1^{(1)}(\chi_s r) \end{cases} = \frac{D}{4\pi i} \int_{\mathcal{L}} \begin{cases} J_1(r\sqrt{k^2 - (\frac{\omega}{v_0} - \nu)^2}) H_1^{(1)}(r'\sqrt{k^2 - (\frac{\omega}{v_0} - \nu)^2}) \text{ctg}\left(\frac{\nu D}{2}\right) d\nu \\ J_1(r'\sqrt{k^2 - (\frac{\omega}{v_0} - \nu)^2}) H_1^{(1)}(r\sqrt{k^2 - (\frac{\omega}{v_0} - \nu)^2}) \end{cases} \quad (4)$$

^{x/} Как обычно, считаем, что k имеет малую положительную мнимую добавку.

Деформируя контур \mathcal{L} в контур $(\mathcal{L}^I + \mathcal{L}^{II})$ (принимая для корня справа от разрезом положительный знак) и полагая далее $\nu = \frac{k}{\beta}(1 + \beta + i\beta\nu)$ на \mathcal{L}^I и $\nu = \frac{k}{\beta}(1 - \beta - i\beta\nu)$ на \mathcal{L}^{II} , получим:

$$M = \frac{-kD}{2\pi} \int_0^\infty J_1(kr\sqrt{\nu^2 - 2i\nu}) J_1(kr'\sqrt{\nu^2 - 2i\nu}) \left[\operatorname{ctg} \frac{kD}{2\beta}(1 + \beta + i\beta\nu) + \operatorname{ctg} \frac{kD}{2\beta}(1 - \beta - i\beta\nu) \right] d\nu. \quad (5)$$

Легко видеть, что функция под интегралом в (5) при $\nu \rightarrow \infty$ экспоненциально стремится к нулю. После подстановки (5) в (1.2) результат преобразуется далее путем интегрирования по частям по r' с учётом краевого условия для тока

$$j_{r\omega}^0(r) \Big|_{r=a} = 0. \quad (6)$$

Интегральное уравнение для $j_{r\omega}^0$ запишется в виде

$$-E_{r\omega}^0 = \frac{k}{2c} \int_a^\infty \frac{d(r' j_{r'\omega}^0)}{dr'} dr' \int_0^\infty G(\nu) \frac{1 - \nu^2 + 2i\nu}{\sqrt{\nu^2 - 2i\nu}} J_1(kr\sqrt{\nu^2 - 2i\nu}) J_0(kr'\sqrt{\nu^2 - 2i\nu}) d\nu, \quad (7)$$

где E^0 - внешнее поле $x/$, $G(\nu) = \operatorname{ctg} \frac{kD}{2\beta}(1 + \beta + i\beta\nu) + \operatorname{ctg} \frac{kD}{2\beta}(1 - \beta - i\beta\nu)$.

(7) удобно далее продифференцировать еще раз по r и ввести замену $\nu = \frac{\gamma^2 x^2}{\sqrt{1 + \gamma^2 x^2}}$. В такой форме, учитывая, что главный вклад в интеграл дает область значений $r \approx r'$ (в этом можно убедиться, используя асимптотические выражения для бесселевых функций и учитывая наличие большого параметра γ), применим к двойному интегралу метод стационарной фазы [7]. В результате получим, ограничиваясь основными членами,

$x/$ Компоненты Фурье, на которые раскладываются вектора Герца внешнего поля, несомого источниками, приведены на рис. 1 (κ - заряд на единицу длины нити.)

$$-\frac{dE_{r\omega}^0}{dr} = \frac{2(1+i)}{kcD} \frac{\gamma^2}{r} \cdot \frac{d}{dr} (r j_{r\omega}^0). \quad (8)$$

Отсюда с учётом (6) находим оценку для тока. Наконец, после подстановки в (3.2) и интегрирования по частотам получается оценка для полной энергии, теряемой зарядом на одном периоде структуры:

$$W^{II} = \frac{5}{24\pi} \frac{q^2 D}{a^2}. \quad (9)$$

Аналогичная процедура, проведенная для гребенки, дает

$$W^{III} = \frac{\kappa^2 D}{16a}. \quad (10)$$

Наконец, для задачи I приведем только грубую верхнюю оценку, которая может быть получена с помощью (3.1) следующим образом. Предположим, что $j_{z\omega}^0$ просто пропорциональна амплитуде "падающего" поля $E_{z\omega}^0$, которая вошла бы в соответствующее интегральное уравнение. Этим мы влияние периодичности учитываем лишь частично, поскольку формула (3.1) является точной и выведена с учётом периодичности структуры, а в выражении для $j_{z\omega}^0$ на выделенном элементе структуры мы пренебрегаем экранировкой заряда соседними элементами, т.е. в какой-то мере выбираем худший случай. В результате получается выражение для полных потерь:

$$W^I = A \frac{q^2 d}{a^2 \gamma}, \quad (11)$$

где A - числовой коэффициент, который при данном подходе остается неизвестным.

В заключение можно отметить: полученные оценки показывают, что потери в ультрарелятивистском пределе стремятся по крайней мере к постоянному пределу при неограниченном увеличении γ . Различие результата для системы полуплоскостей от результата Болотовского и Воскресенского, которые для потерь приводят формулу (см. /3/)

$$W = \frac{2 \kappa^2 D}{a} \frac{\beta}{\gamma}, \quad (12)$$

можно объяснить тем, что в асимптотической формуле (12) учтена лишь область частот $ka \geq \gamma$, в то время как в (10) $ka \geq 1$. Приведенные в /3/ численные результаты, вычисленные по точной формуле, трудно сопоставить с (10), т.к. соответствующие точки на рассчитанной кривой лежат слишком близко к нулю.

Наконец, приведем формулу потерь для случая 2, когда система возбуждается бесконечно тонким заряженным кольцом радиуса b (при $\frac{a-b}{a} \ll 1$):

$$W^{\text{II}} = 10^{-2} \frac{q^2 D}{a(a-b)}. \quad (13)$$

Л и т е р а т у р а

1. А.И.Ахиезер, Г.Я.Люборский, Я.Б.Файнберг. ЖТФ, 25, 2526 (1955).
2. О.А.Колпаков, В.И.Котов, Ом Сан Ха. ЖТФ, 35, 26 (1965).
3. Б.М.Болотовский, Г.В.Воскресенский. УФН, 94, 377 (1968).
4. А.Г.Бонч-Осмеловский, Г.В.Долбилов, О.А.Колпаков, А.Б.Кузнецов, В.Н.Мамонов, К.А.Решетникова, Н.Б.Рубин, С.Б.Рубин, В.П.Саранцев. Препринт ОИЯИ, Р9-4171, Дубна, 1968.
5. A.M.Sessler. Beam Loading in the Accelerating Column of an Electron Ring Accelerator. LRL, Berkeley, 1968.

6. М.В.Федорюк. Журн. вычислит. матем. и мат. физики., 2, 145 (1962).

Рукопись поступила в издательский отдел
9 октября 1969 года.

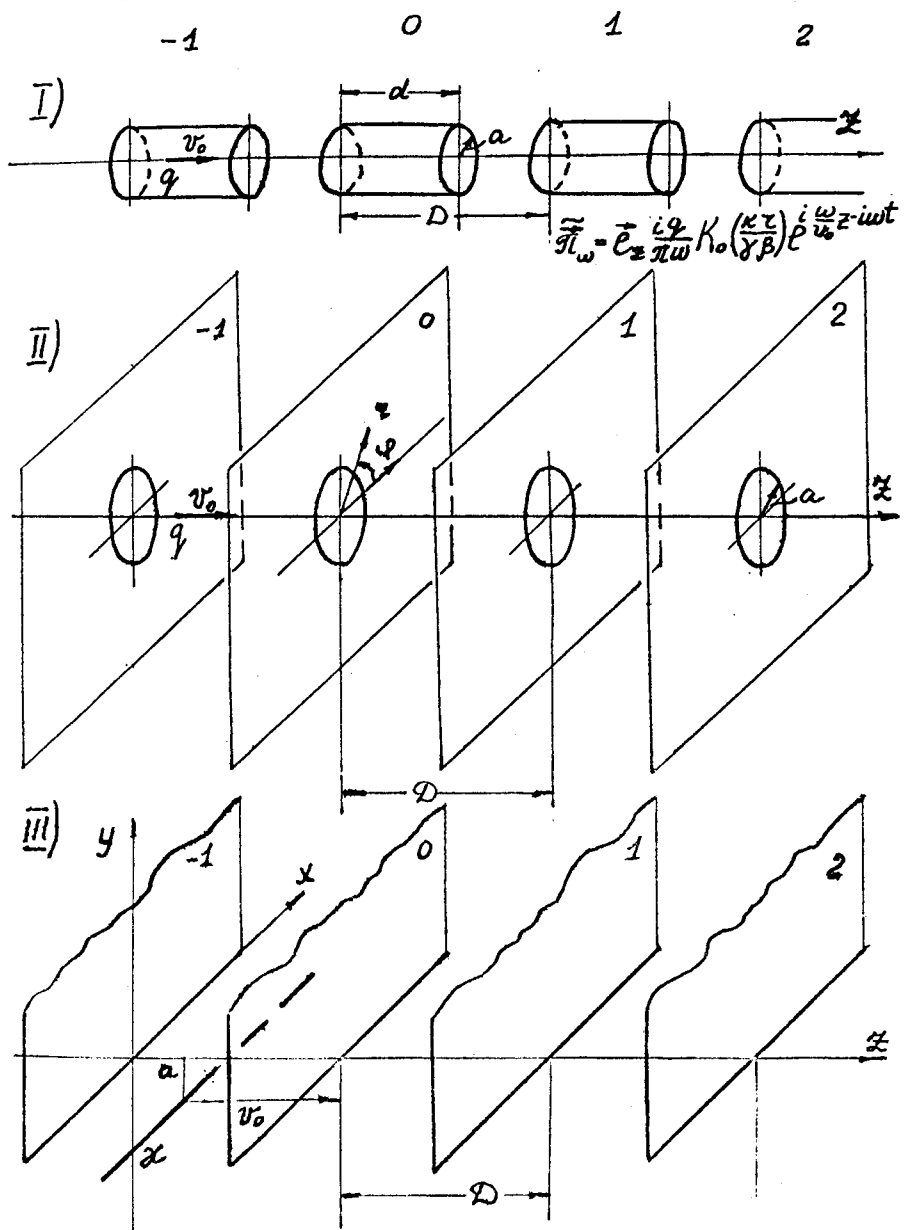


Рис. 1

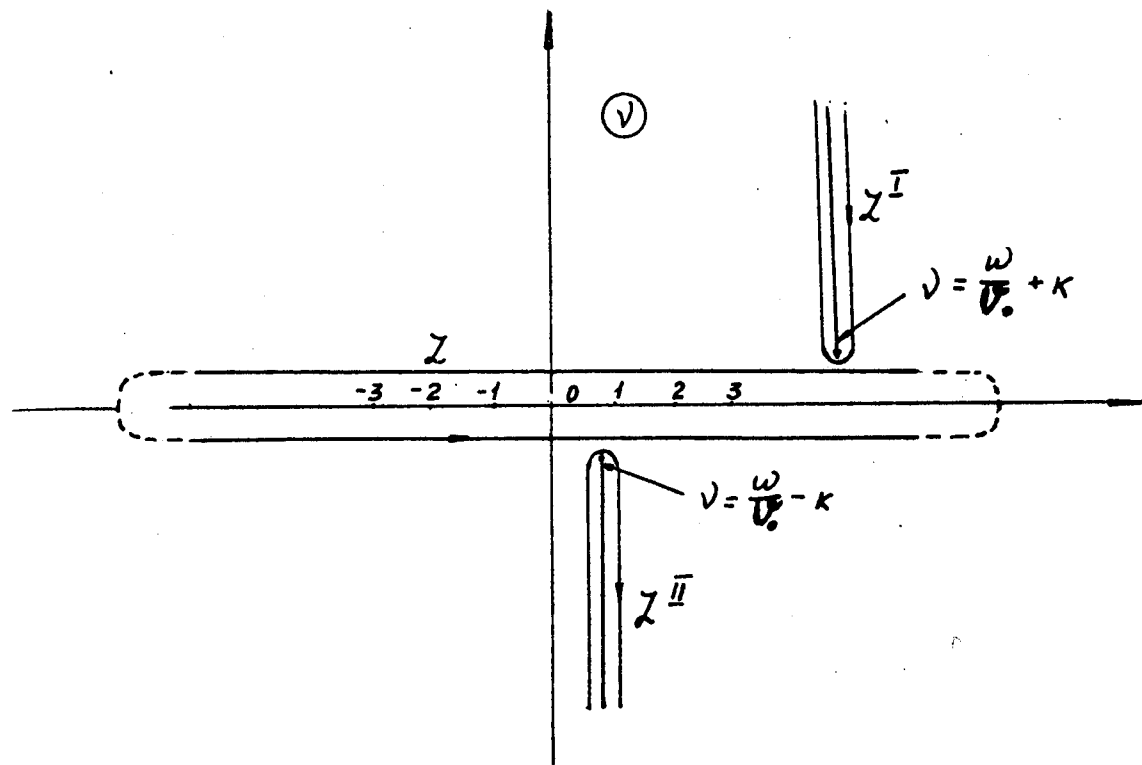


Рис. 2